

САНКТ-ПЕТЕРБУРГСКИЙ ПОЛИТЕХНИЧЕСКИЙ
УНИВЕРСИТЕТ им. ПЕТРА ВЕЛИКОГО
ИНСТИТУТ ПРИКЛАДНОЙ МАТЕМАТИКИ И МЕХАНИКИ
КАФЕДРА ПРИКЛАДНАЯ МАТЕМАТИКА

ЛАБОРАТОРНАЯ РАБОТА №4
ЭМИССИОННАЯ ТОМОГРАФИЯ ПЛАЗМЫ.
ПОСТРОЕНИЕ СЛАУ

по дисциплине: ВЫЧИСЛИТЕЛЬНЫЕ КОМПЛЕКСЫ

Студент группы 3630102/60201

Митрофанова А.Г.

Преподаватель

Баженов А.Н.

Санкт-Петербург
2020 год

Содержание

1	Постановка задачи	3
2	Теория	3
2.1	Построение разбиения области	3
2.2	Информация о детекторе	3
2.3	Нахождение сечения плазмы плоскостью	5
3	Реализация	5
4	Результаты	5
5	Обсуждение	9
6	Литература	10
7	Приложение	10
7.1	main.m	10

Список иллюстраций

1	Расположение пикселей детектора в его плоскости	4
2	График сепаратрисы и магнитной оси	5
3	График положения сечений	6
4	Сечение 1	6
5	Сечение 2	6
6	Сечение 3	7
7	Сечение 4	7
8	Сечение 5	7
9	Сечение 6	7
10	Сечение 7	7
11	Сечение 8	7
12	Сечение 9	8
13	Сечение 10	8
14	Сечение 11	8
15	Сечение 12	8
16	Сечение 13	8
17	Сечение 14	8
18	Сечение 15	9
19	Сечение 16	9
20	График матрицы длин хорд	9

1 Постановка задачи

Необходимо считать данные о сепаратрисе из g-файла. Построить кривую сепаратрисы на графике, вычислить и отметить магнитную ось. Построить геометрическую матрицу хорд. Поставить задачу о нахождении светимостей различных областей (переопределённая СЛАУ).

2 Теория

На сечении Токамак «Глобус-М» можно увидеть следующие компоненты: стенки вакуумной камеры, сепаратриса (граница плазмы, последняя замкнутая область магнитного потока) и магнитная ось (условный центр тока плазмы). [1]

Данные о геометрическом месте сепаратрисы содержатся в так называемых g-файлах в виде массивов **RBDY**, **ZBDY**. Функция MATLAB

$$[flux, RBDY, ZBDY, NBDY, R, Z, time, rdim, zdim] = \\ = gfile_extractor_1t(shot_number_test, start_efit_time, MagMesh)$$

[2] возвращает

- **RBDY**, **ZBDY** – (R, Z) -координаты точек сепаратрисы
- **NBDY** – число точек сепаратрисы
- **rdim**, **zdim** – размер сетки по радиусу и вертикали
- **R**, **Z** – координаты точек сетки по радиусу и вертикали
- **flux** – двумерный массив магнитного потока

В окрестности минимума распределения **flux** находится «магнитная ось». Область «магнитной оси» можно считать «центром» плазмы.

2.1 Построение разбиения области

- Делим область на 2 сектора по экватору
- В каждом секторе выбираем точку с максимальным радиусом кривизны для нахождения опорного направления
- Находим в каждом секторе точку с минимальным радиусом кривизны
- Найдены 4 особые точки. Соединив их с центром получим 4 сектора
- Внутри каждого сектора проводим еще N дополнительных отрезков. Получено $4N$ отрезка
- Находим у каждого из отрезков середину и соединяем их между собой

2.2 Информация о детекторе

Данные о детекторе взяты из [3].

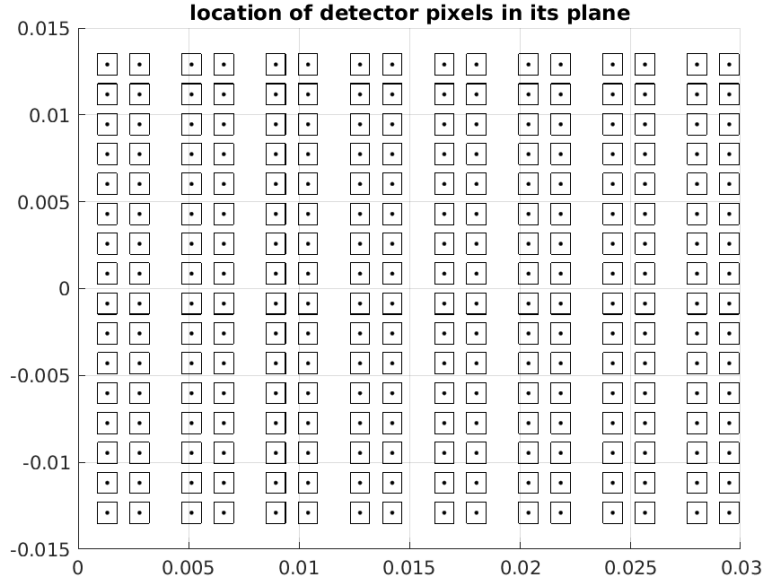


Рис. 1: Расположение пикселей детектора в его плоскости

Угол между направлением камеры-обскуры и направлением на центр (между 8 и 9 лучами)

$$ang = \arccos \frac{708^2 + 720^2 - 31^2}{2 \cdot 708 \cdot 720} \quad (1)$$

Положение края детектора (1-го столбца) в координатах XY

$$spd_start = [0, -0.708] \quad (2)$$

Положение 16-го столбца в координатах XY

$$spd_end = [0.72 \cdot \sin ang, 0.72 \cdot (-\cos ang)] \quad (3)$$

Вектор направления камеры-обскуры в экваториальной плоскости

$$spd_vect = \frac{spd_end - spd_start}{||spd_end - spd_start||} \quad (4)$$

Шаг между столбцами в плоскости детектора

$$spd_xy_step = [2.3375 - 0.88, 3.81 - 2.3375 + 0.88] \cdot 10^{-3} \quad (5)$$

Центр детектора

$$pp = spd_start + spd_vect \cdot ((spd_xy_step(1) + spd_xy_step(2)) \cdot 8 + 0.52 \cdot 10^{-3}) \cdot \frac{1}{2} \quad (6)$$

Отступ апертуры от центра детектора

$$aperture_xy_offset = 0.0395 \quad (7)$$

Координаты апертуры

$$aperture_xy = [pp(1) - spd_vect(2) \cdot aperture_xy_offset, pp(2) + spd_vect(1) \cdot aperture_xy_offset] \quad (8)$$

Устройство детектора в меридиональной плоскости

$$spd_z_start = \frac{27.52 - 0.49}{2} \cdot 10^{-3} \quad (9)$$

$$spd_z_step = -1.72 \cdot 10^{-3} \quad (10)$$

$$spd_xy = spd_start + spd_vect \cdot \left(\frac{spd_xy_step(2)}{2} + 0.26 \cdot 10^{-3} \right) \quad (11)$$

2.3 Нахождение сечения плазмы плоскостью

Плазма представляется как фигура вращения, где роль образующей выполняет сетка разбиения сепаратрисы. Для каждого вертикального ряда пикселей детектора вычисляется коэффициенты (k и b) прямой, проходящей через этот пиксель апертуру детектора. После чего вычисляет расстояние H от центра токамака до прямой. Далее каждый элемент сетки представляется как фигура вращения, ось вращения которой совпадает с осью токамака, а образующая – текущий элемент сетки. Для этой фигуры рассчитывается сечение плоскостью $x = H$. В этом сечении для каждого пикселя в вертикальном ряду вычисляется прямая, проходящая через центр пикселя и апертуру детектора.

3 Реализация

Реализация осуществлена на языке программирования MATLAB в среде разработки MATLAB Online R2019b.

Для считывания информации о сепаратрисе из g-файла была использована функция *gfile_extractor_1t* [2].

Необходимая информация для выполнения лабораторной была взята из [3].

4 Результаты

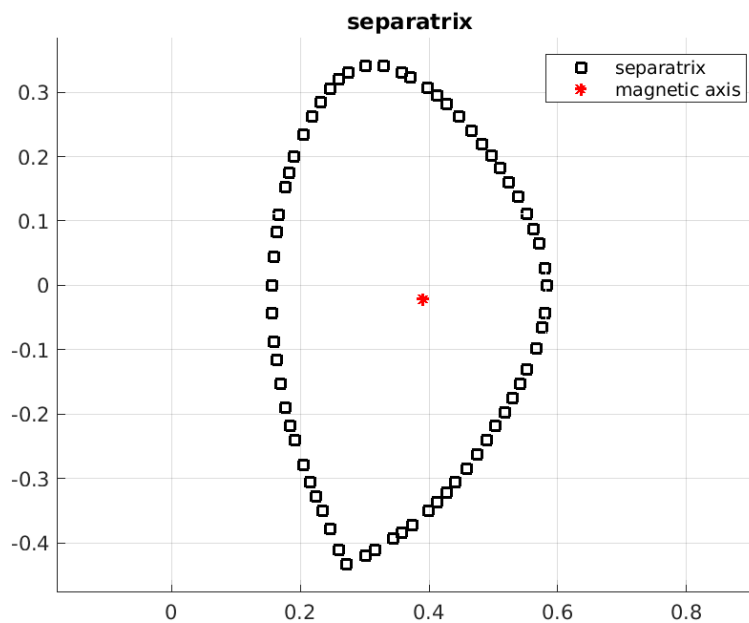


Рис. 2: График сепаратрисы и магнитной оси

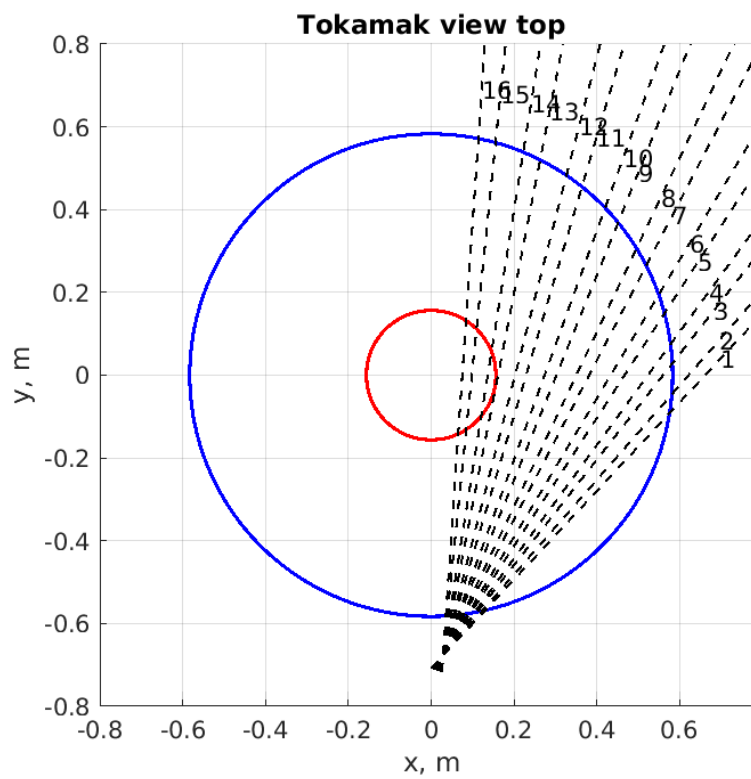


Рис. 3: График положения сечений

Далее приведены сечения для всех 16-ти столбцов, где

- Зелёным цветом – сетка
- Черные линии – лучи
- Красные круги – пересечения

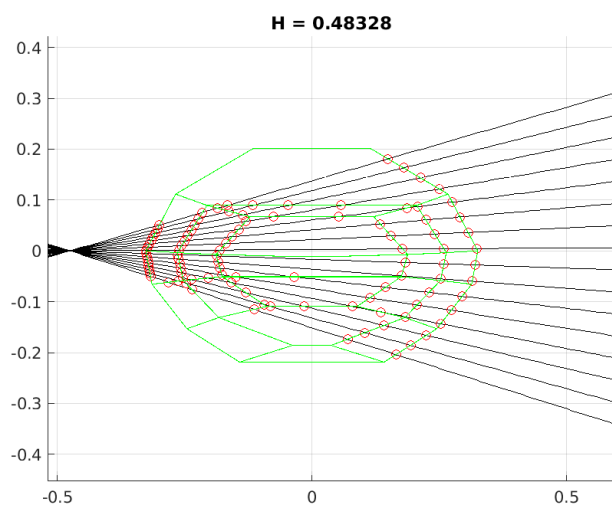


Рис. 4: Сечение 1

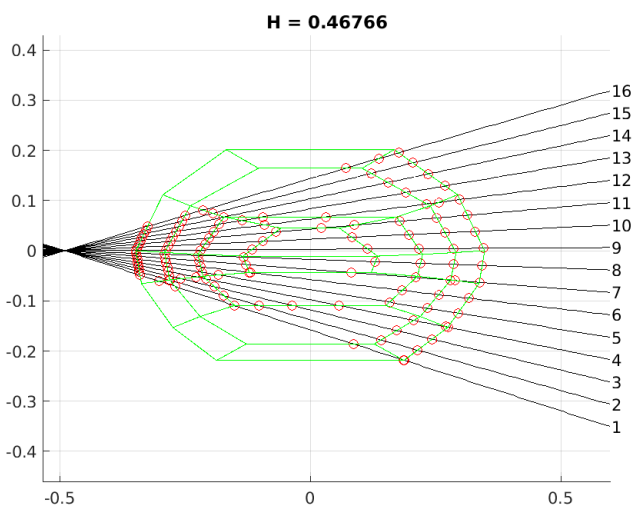


Рис. 5: Сечение 2

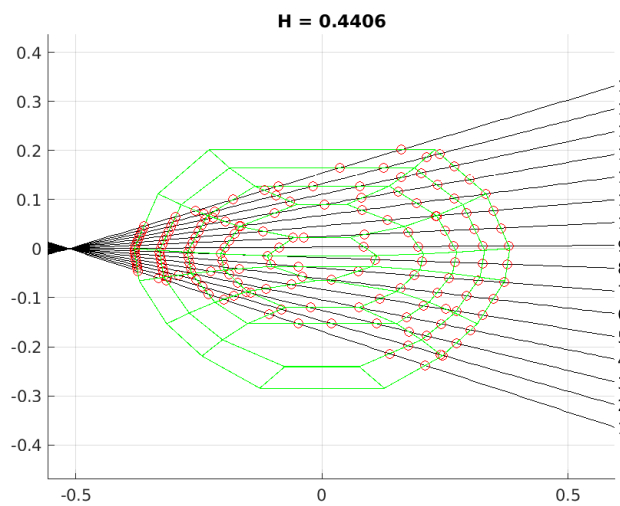


Рис. 6: Сечение 3

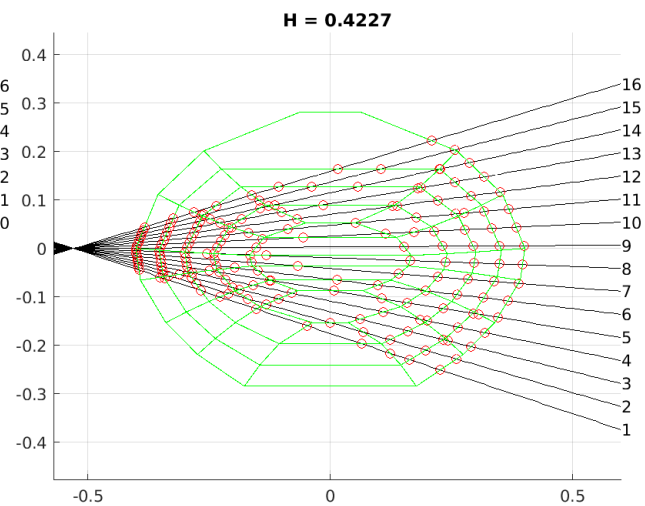


Рис. 7: Сечение 4

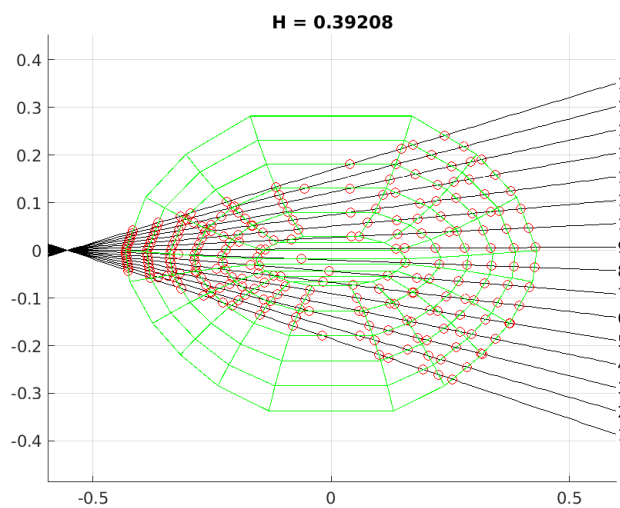


Рис. 8: Сечение 5

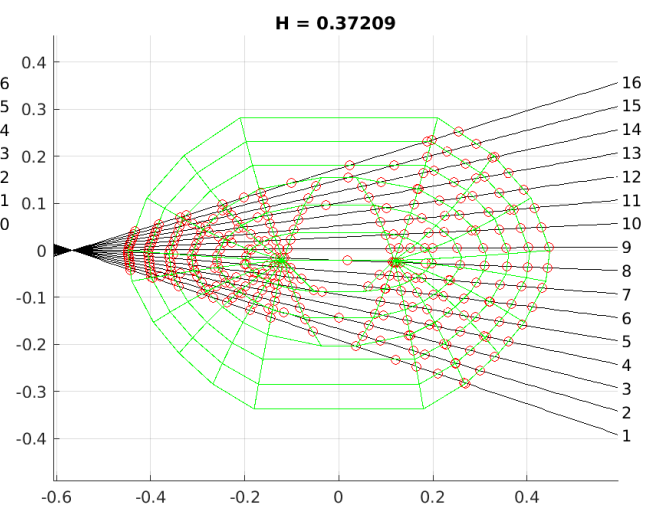


Рис. 9: Сечение 6

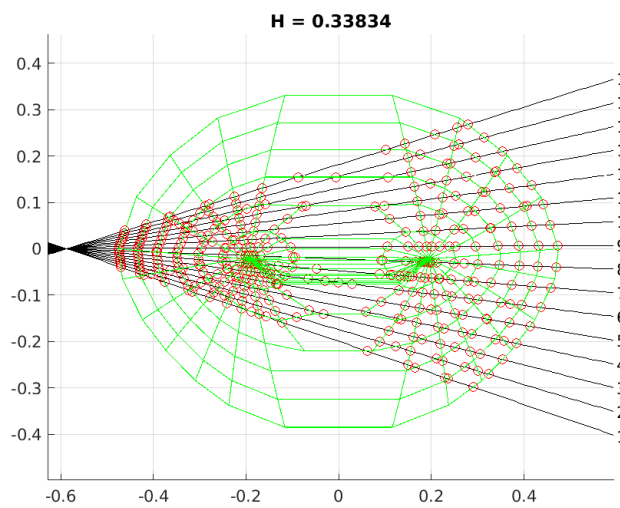


Рис. 10: Сечение 7

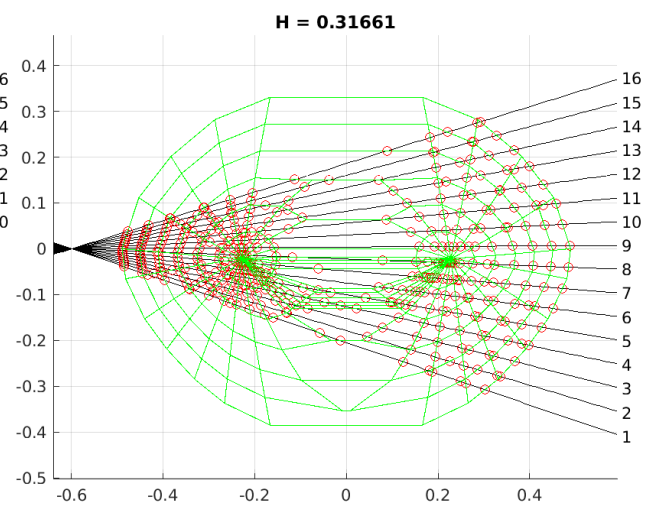


Рис. 11: Сечение 8

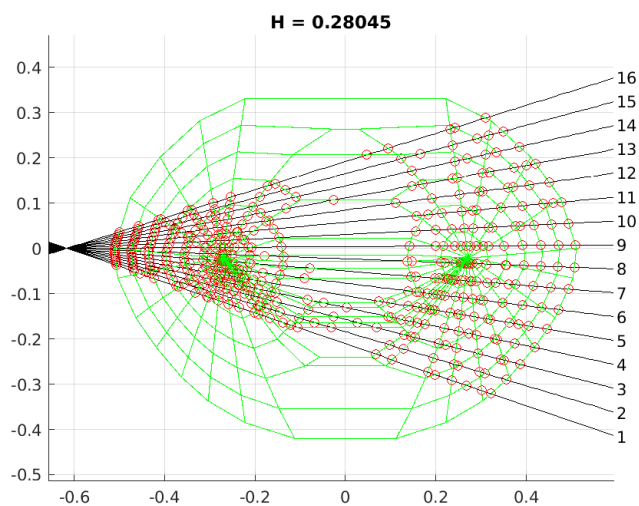


Рис. 12: Сечение 9

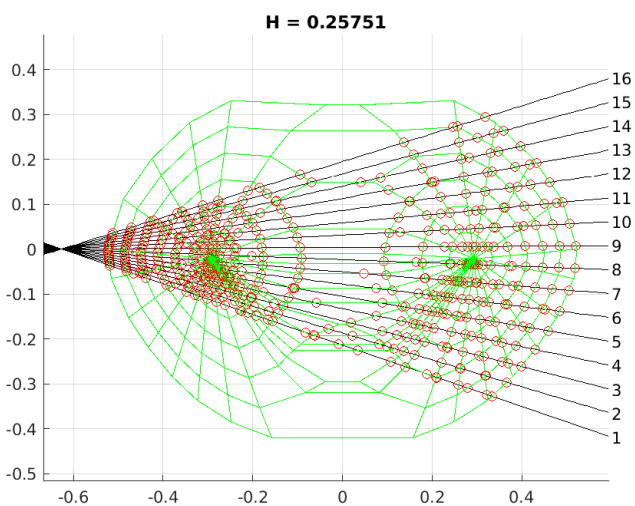


Рис. 13: Сечение 10

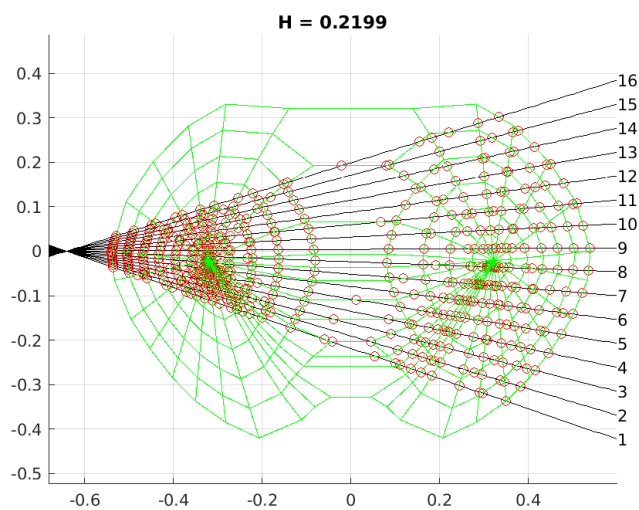


Рис. 14: Сечение 11

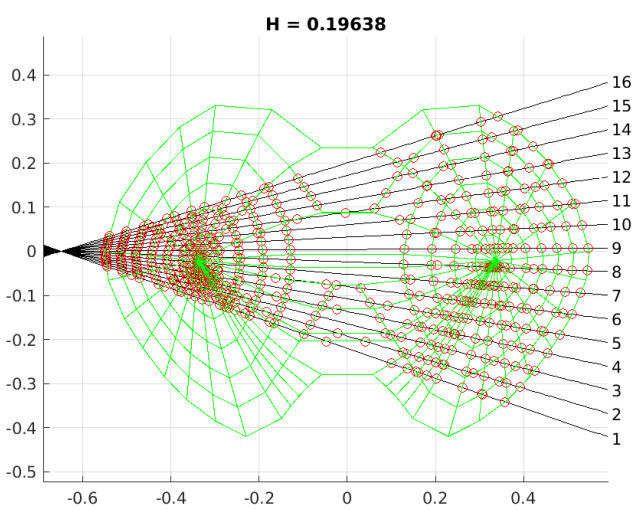


Рис. 15: Сечение 12

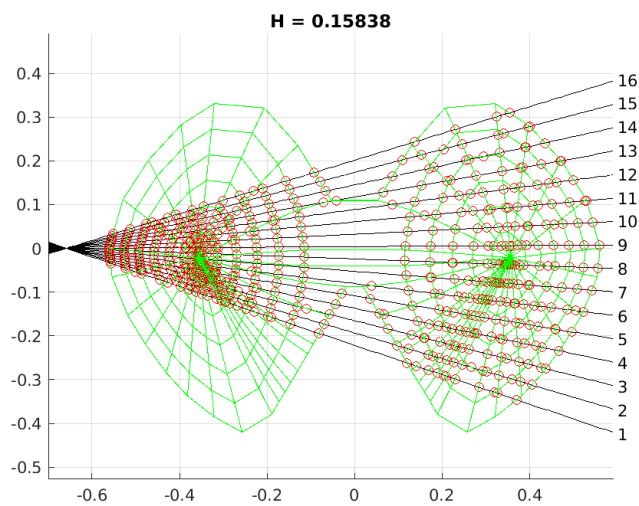


Рис. 16: Сечение 13

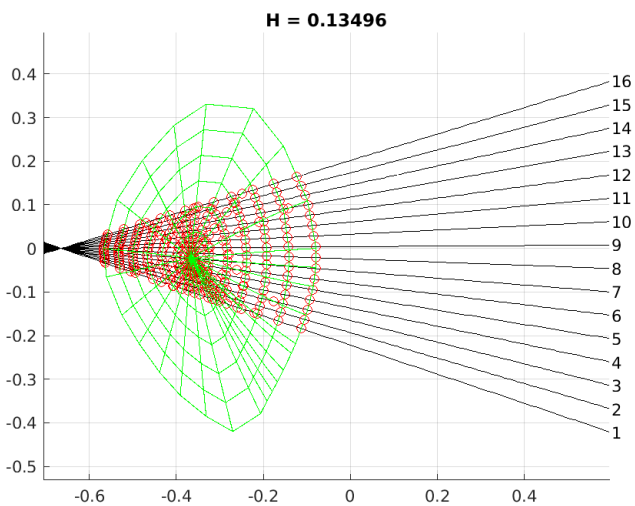


Рис. 17: Сечение 14

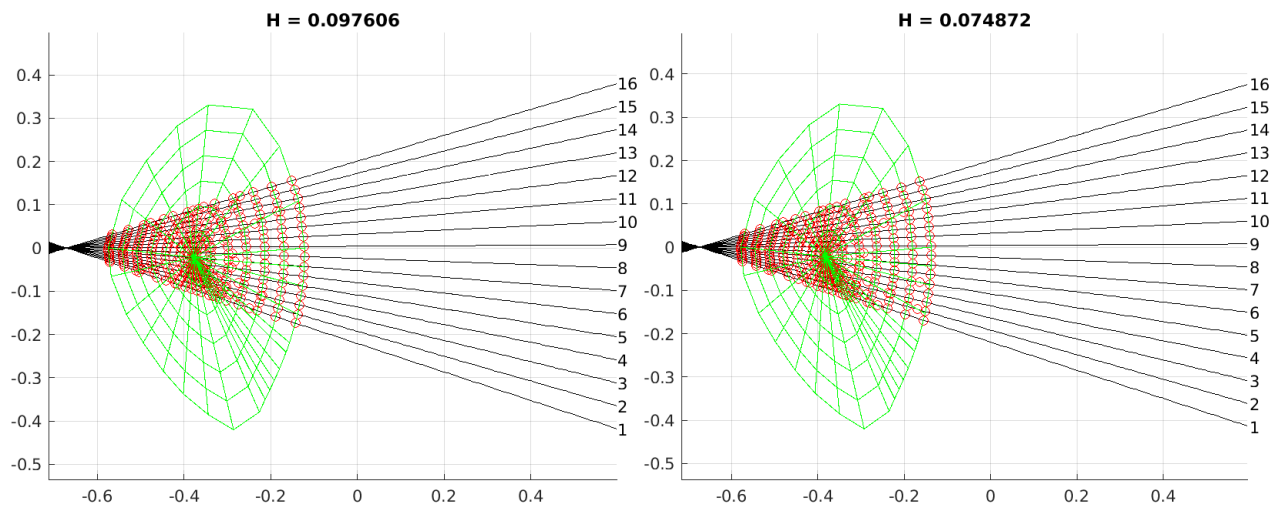


Рис. 18: Сечение 15

Рис. 19: Сечение 16

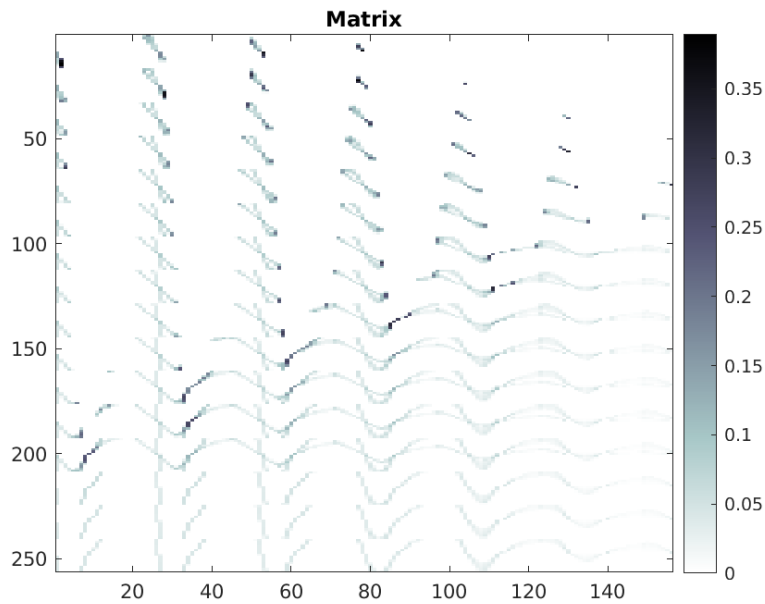


Рис. 20: График матрицы длин хорд

5 Обсуждение

На сечениях 14, 15, 16 плоскость сечения H меньше самой левой точки сепаратрисы, и область получается двусвязной. В случае двусвязной области считаем, что луч упирается в центральную ось токамака, и учитываем только левую область.

СЛАУ представляет собой матрицу $256 \times N$, где N – количество элементов разбиения. Каждая строка матрицы отвечает за свой луч, притом коэффициенты для каждого элемента разбиения – сумма длин хорд. Построенная матрица является сильно разреженной и плохо обусловленной.

6 Литература

Список литературы

- [1] А.Н. Баженов, Лабораторный практикум. Методический материал. «Вычислительные комплексы» [Электронный ресурс, облачное хранилище]. Режим доступа:
<https://cloud.mail.ru/public/4ra6/5wwqBzMBC/LabPractices.pdf> (дата обращения: февраль, 2019 г.)
- [2] Код функции, извлекающей информацию о сепаратрисе [Электронный ресурс, облачное хранилище]. Режим доступа:
<https://cloud.mail.ru/public/5o3T/4G4dD71hL> (дата обращения: февраль, 2019 г.)
- [3] Необходимые сведения для выполнения лабораторной [Электронный ресурс]. Режим доступа:
https://vk.com/doc211504187_521293842?hash=d0deb7b0ccd53ab93dl=eb351b97a099a08cd1 (дата обращения: февраль, 2019 г.)

7 Приложение

7.1 main.m

```
1 %%
2 clear all
3 point_ = get_point_interface();
4 element_ = get_element_interface();
5 detector_ = get_detector_interface();
6 %%
7 [flux, RBDY, ZBDY, NBDY, R, Z, time, rdim, zdim] = gfile_extractor_1t(34363, 000162, 65);
8 %%
9 % change the start of the crawl and change the detour of the separatrix to counter-hourly
10 % since the last point is equal to the first, let's take this into account
11 % a new beginning - the 32nd element
12 [RBDY, ZBDY] = circle_spin_and_reverse(RBDY, ZBDY, NBDY, 32);
13
14 [arr, ind_arr] = min(flux);
15 [flux_min, min_j] = min(arr);
16 min_i = ind_arr(min_j);
17 magnet_axis = [R(min_j), Z(min_i)];
18 %% plot separatrix and magnetic axis
19 figure()
20 grid on
21 hold on
22 plot(RBDY, ZBDY, "ks", 'LineWidth', 1.5);
23 plot(magnet_axis(1), magnet_axis(2), "r*", 'LineWidth', 1.5);
24 [x_lim, y_lim] = get_plot_lim(RBDY, ZBDY);
25 xlim(x_lim)
26 ylim(y_lim)
27 axis equal
28 title("separatrix")
29 legend("separatrix", "magnetic axis")
30 %%
31 num_sectors = 8;
32 num_circle = 6;
33 cur_cut_y = RBDY;
34 cur_cut_z = ZBDY;
35 cur_magnet_axis = magnet_axis;
36
37 [R_segments_arr, Z_segments_arr, lines_start, lines_end] = get_web_grid(cur_cut_y, cur_cut_z,
    , cur_magnet_axis, num_sectors, num_circle);
38 elements = create_element_from_grid(R_segments_arr, Z_segments_arr, lines_start, lines_end);
39 %% plot grid of splitting of separatrix
40 figure()
41 grid on
42 hold on
43 for i = 1 : length(elements)
44     element_.draw(elements(i), "b", i);
```

```

45 end
46 axis equal
47 title("grid of splitting separatrix")
48 legend("grid")
49 %% calculate partition grids of the separatrix in the cross section plane x = H
50 % H - distance from the center of the tokamak to the section plane
51 min_x_sep = min(RBDRY);
52 max_x_sep = max(RBDRY);
53 H = 0;
54 h = length(elements);
55 cut_elements = [];
56 left_cut_elem = [];
57 right_cut_elem = [];
58 for i = 1 : h
59     % the result of the intersection of the sector rotation shape and the x = H plane
60     [elem, count] = element_.get_cut(elements(i), H);
61     if(count == 2)
62         left_cut_elem = [left_cut_elem, elem(1)];
63         right_cut_elem = [right_cut_elem, elem(2)];
64     else
65         left_cut_elem = [left_cut_elem, elem];
66     end
67 end
68
69 cut_elements = [left_cut_elem, right_cut_elem];
70 %% magic constants
71 % angle between the pinhole camera direction and the center direction (between 8 and 9 beams
72 % )
73 ang = acos((708^2 + 720^2 - 31^2) / (2 * 708 * 720));
74 % position of the detector edge (1st column)
75 spd_start = [0, -0.708];
76 % position of the 16th column
77 spd_end = [0.72 * sin(ang), 0.72 * -cos(ang)];
78 % direction vector of the pinhole camera in the Equatorial plane
79 spd_vect = (spd_end - spd_start) / norm(spd_end - spd_start);
80 % step between columns in the detector plane, 2 numbers
81 spd_xy_step = [2.3375 - 0.88 , 3.81 - 2.3375 + 0.88 ] * 1e-03;
82 % the center of the detector
83 pp = spd_start + spd_vect * ((spd_xy_step(1) + spd_xy_step(2)) * 8 + 0.52 * 1e-03) / 2;
84 % aperture offset from the center of the detector
85 aperture_xy_offset = 0.0395;
86 % coordinate of the aperture
87 aperture_xy = [pp(1) - spd_vect(2) * aperture_xy_offset, pp(2) + spd_vect(1) *
88     aperture_xy_offset];
89 spd_z_start = (27.52 - 0.49) / 2 * 1e-03;
90 spd_z_step = -1.72 * 1e-03;
91 spd_xy = spd_start + spd_vect * (spd_xy_step(2) / 2 + 0.26 * 1e-03);
92 %% detectors parametres
93 detector = detector_.create();
94 detector.start = point_.create(spd_start(1), spd_start(2));
95 detector.end = point_.create(spd_end(1), spd_end(2));
96 detector.step = spd_xy_step;
97 detector.direction = point_.create(spd_vect(1), spd_vect(2));
98 detector.center = point_.create(pp(1), pp(2));
99 detector.aperture_offset = 0.0395;
100 detector.aperture_pos = point_.create(aperture_xy(1), aperture_xy(2));
101 detector.z_start = spd_z_start;
102 detector.z_step = spd_z_step;
103 detector.horizontal_step = point_.create((detector.end.x - detector.start.x) / 16 , (
104     detector.end.y - detector.start.y) / 16 );
105 %% plot Tokamak view top
106 figure()
107 grid on
108 hold on
109 axis equal
110 phi = -pi : pi / 360 : pi;
111 R = max(RBDRY);
112 r = min(RBDRY);
113 plot(R * cos(phi), R * sin(phi), "b", 'LineWidth', 1.5);
114 plot(r * cos(phi), r * sin(phi), "r", 'LineWidth', 1.5);

```

```

112
113 x = detector.start.x;
114 y = detector.start.y;
115
116 for i = 1 : 16
117     A = detector_.get_col_pos(detector, i);
118     x = A.x : 0.01 : 0.8;
119     B = detector.aperture_pos;
120     [k, b] = get_line(A, B);
121     plot(x, k*x + b, "k--", 'LineWidth', 1)
122     text_R = R * 1.2;
123     text_x = (-2 * b * k + sqrt(4 * b ^ 2 * k ^ 2 - 4 * (k ^ 2 + 1) * (b ^ 2 - text_R ^ 2)))
        / (2 * (k ^ 2 + 1));
124     text_y = k * text_x + b;
125     text(text_x, text_y, num2str(i));
126 end
127
128 xlim([-0.8, 0.8])
129 ylim([-0.8, 0.8])
130
131 title('Tokamak view top')
132 xlabel('x, m')
133 ylabel('y, m')
134 %%
135 for cut_ind = 1 : 16
136     figure()
137     grid on
138     hold on
139     axis equal
140     H = detector_.get_plane(detector, cut_ind);
141     title(strcat("H = ", num2str(H)));
142     element_num = length(elements);
143     cut_elements = [];
144     for i = 1 : element_num
145         [elem, count] = element_.get_cut(elements(i), H);
146         if(H < min_x_sep)
147             if(count == 2)
148                 cut_elements = [cut_elements, elem(2)];
149             else
150                 cut_elements = [cut_elements, elem];
151             end
152         else
153             cut_elements = [cut_elements, elem];
154         end
155     end
156
157     for ray_ind = 1 : 16
158         [k, b, det_pos, apper_pos] = detector_.get_ray(detector, cut_ind, ray_ind);
159         x = det_pos.x : 0.01 : 0.6;
160         plot(x, k * x + b, "k")
161         for t = 1 : length(cut_elements)
162             element_.draw(cut_elements(t), "g")
163             [hord, intersection] = element_.get_hord(cut_elements(t), k, b);
164             for g = 1 : length(intersection)
165                 plot(intersection(g).x, intersection(g).y, "or");
166             end
167         end
168         text_x = 0.6;
169         text_y = text_x * k + b;
170         text(text_x, text_y, num2str(ray_ind));
171     end
172 end
173 %% plot location of detector pixels in its plane
174 figure()
175 grid on
176 hold on
177 %axis equal
178 spd_sizes = [0.88, 1.23] * 1e-3;
179
180 y_square_up = [0, spd_sizes(1), spd_sizes(1), 0, 0];

```

```

181 y_square_down = [0, 0, spd_sizes(1), spd_sizes(1), 0];
182 z_square_up = [0, 0, spd_sizes(2), spd_sizes(2), 0];
183 z_square_down = [0, - spd_sizes(2), - spd_sizes(2), 0, 0];
184 color = "k";
185 point_color = ".k";
186 for j = 0 : 7
187     for i = 0 : 7
188         x = (spd_sizes(1) + j * sum(spd_xy_step) + y_square_up);
189         y = (- spd_z_step - spd_sizes(2)) / 2 + i * (- spd_z_step) + z_square_up;
190         plot(x, y, color);
191         x = x(1 : 4);
192         x = sum(x) / 4;
193         y = y(1 : 4);
194         y = sum(y) / 4;
195         plot(x, y, point_color);
196         x = spd_sizes(1) + spd_xy_step(1) + j * sum(spd_xy_step) + y_square_up;
197         y = (- spd_z_step - spd_sizes(2)) / 2 + i * (- spd_z_step) + z_square_up;
198         plot(x, y, color);
199         x = x(1 : 4);
200         x = sum(x) / 4;
201         y = y(1 : 4);
202         y = sum(y) / 4;
203         plot(x, y, point_color);
204         x = spd_sizes(1) + j * sum(spd_xy_step) + y_square_down;
205         y = (spd_z_step + spd_sizes(2)) / 2 + i * spd_z_step + z_square_down;
206         plot(x, y, color);
207         x = x(1 : 4);
208         x = sum(x) / 4;
209         y = y(1 : 4);
210         y = sum(y) / 4;
211         plot(x, y, point_color);
212         x = spd_sizes(1) + spd_xy_step(1) + j * sum(spd_xy_step) + y_square_down;
213         y = (spd_z_step + spd_sizes(2)) / 2 + i * spd_z_step + z_square_down;
214         plot(x, y, color);
215         x = x(1 : 4);
216         x = sum(x) / 4;
217         y = y(1 : 4);
218         y = sum(y) / 4;
219         plot(x, y, point_color);
220     end
221 end
222
223 title('location of detector pixels in its plane');
224 %%
225 element_num = length(elements);
226 hord_matrix = zeros(256, element_num);
227 cur_row = 1;
228 for cut_ind = 1 : 16
229     H = detector_.get_plane(detector, cut_ind);
230     cut_elements = [];
231     for i = 1 : element_num
232         [elem, count] = element_.get_cut(elements(i), H);
233         if(H < min_x_sep)
234             if(count == 2)
235                 cut_elements = [cut_elements, elem(2)];
236             else
237                 cut_elements = [cut_elements, elem];
238             end
239         else
240             cut_elements = [cut_elements, elem];
241         end
242     end
243     N = length(cut_elements);
244     for ray_ind=1 : 16
245         [k, b, det_pos, apper_pos] = detector_.get_ray(detector, 16, ray_ind);
246         for t = 1 : N
247             [hord, intersection] = element_.get_hord(cut_elements(t), k, b);
248             hord_matrix(cur_row, cut_elements(t).index) = hord_matrix(cur_row, cut_elements(
249 t).index) + hord;
250         end
251     end
252 end

```

```
250         cur_row = cur_row + 1;
251     end
252 end
253 figure
254 imagesc(hord_matrix);
255 title('Matrix');
256 colormap('Bone');
257 cm = colormap;
258 colormap(flipud(cm));
259 colorbar;
```